

الگوهای سینتیکی گاز - جامد

خطبب الاسلام صدرنژاد (دانشیار) - محمود فرازپی (دانشجوی کارشناسی ارشد)

چکیده:

هدف این مقاله گردآوری و طبقه‌بندی و مرور تحلیلی مدل‌های ریاضی واکنش‌های گاز - جامد غیرکاتالیستی با تأکید بر روند تحقیقات اخیر در این موضوع است. از این روابط ریاضی و با استفاده از مطالعات تجربی ساده سینتیک واکنش‌های ناهمگن گاز - جامد (فسرده یا متخلخل) می‌توان محدوده انواع مکانیزم‌های کنترل‌کننده و نیز شرایط عملیاتی را که منجر به افزایش سرعت تبدیل جامد می‌شود، تخمین زد. اغلب روابط مذکور، بر پایه مدل‌های استوار هستند که در آنها میزان پیشرفت واکنش با صراحة به فاکتورهای نظری: میزان تخلخل جامد، نفوذ در حفره تخلخل و نفوذ در لایه خاکستر، اندازه دانه، غلظتها و واکنش کننده در فاز گاز و جامد و نیز ثابت سرعت واکنش ارتباط دارد. بمنظور دستیابی به روابط مدل‌های تبدیل گاز - جامد، فرضهایی نظری: ثابت بودن دمای سیستم، متخلخل و یا فسرده بودن جامد، کنترل کننده بودن مرحله واکنش شیمیائی و نفوذ مؤثر، در نظر گرفته می‌شود. در این مدل‌ها، معادلات ریاضی با کمک شرایط مرزی بطرق تحلیلی و یا عددی حل می‌شوند که عملاً با کمک آنها می‌توان نواحی کنترل کننده سرعت واکنش را تخمین زد و زمان تبدیل کامل واکنش کننده جامد را نیز حساب کرد. در این مقاله حالات مختلف یک سیستم گاز - جامد شامل: اشکال مختلف دانه و بلت، توزیع دانه‌ها و حفره‌ها، اندرکنش محیط(های) خارجی با جامد متخلخل یا فسرده غیرکاتالیستی از طریق الگوهای جامد فشرده که شامل مدل‌های هسته کاهنده و غیرکاهنده و نیز الگوهای جامد متخلخل که شامل مدل‌های دانه‌ای و حفره‌ای است طبقه‌بندی می‌شوند. روابط نهانی این مدل‌ها بدون اینکه نحوه رسیدن به آنها بطور جزئی مطرح شوند خواهند آمد. کاربرد روابط ریاضی موجود در این مقاله بمنظور طراحی و شبیه سازی کامپیوتری تفسیر داده‌های آزمایشگاهی و نیز پیش‌بینی نحوه رفتار سیستم‌های گاز - جامد در حالت تک دما توصیه شده است.

* در این مقاله بعضی از نتایج بدست آمده در رابطه با طرح تحلیلاتی "شبیه سازی سرعت در فرایندهای کاربردی" ارائه می‌شود.

مقدمه:

واکنش‌های بین جامد و سیال که تولید محصول جامد (لایه خاکستر) و یا گاز می‌نمایند، در طیف وسیعی از فرآیندهای شیمیائی و متالورژیکی از اهمیت ویژه‌ای برخوردارند. نمونه‌هایی از این تحولات عبارتند از احیاء اکسید و یا سولفید فلزات، تجزیه ترکیبات فلزی، جذب دی اکسید کربن توسط آهک، پیشرفت‌های عمده علمی در زمینه طراحی مدل‌های سینتیکی گاز - جامد در مأخذ /۱/ بتفصیل شرح داده شده است. علیهذا با توجه به گذشت مدت زیادی از چاپ مأخذ /۱/ مقالات متعددی در این رابطه منتشر شده است /۱۱, ۱۰, ۹, ۸, ۷, ۶, ۵, ۴, ۳, ۲/؛ بنظر می‌رسد مروز تحلیلی در زمینه مدل‌های سینتیکی واکنش‌های گاز - جامد ضروری است. هدف این مقاله کمک به ارزیابی روند تحقیق در خصوص سینتیک فرآیندهای گاز - جامد است.

در هنگام بررسی واکنش‌های جامد - گاز، چهار پدیده: انتقال جرم خارجی، نفوذ در حفره‌های تخلخل، جذب و دفع سطحی و واکنش شیمیایی بایستی در نظر گرفته بشود. پدیده‌های دیگری نظیر انتقال حرارت (در داخل جامد واکنش کننده یا بین جامد و گاز) تغییر ساختار فیزیکی جامد (نظیر زیترشدنگی) و حرکت مواد جامد و گاز در داخل محفظه واکنش (راکتور) نیز بر سرعت تحول مؤثر می‌باشند. فازهای جامد واکنش کننده در بسیاری از تحولات بین جامد و گاز، متخلف می‌باشند ولذا باید کمیتهايی از قبیل میزان تخلخل، مساحت سطح ویژه و توزیع اندازه حفره‌ها در مطالعه سرعت این نوع واکنشها در نظر گرفته شود.

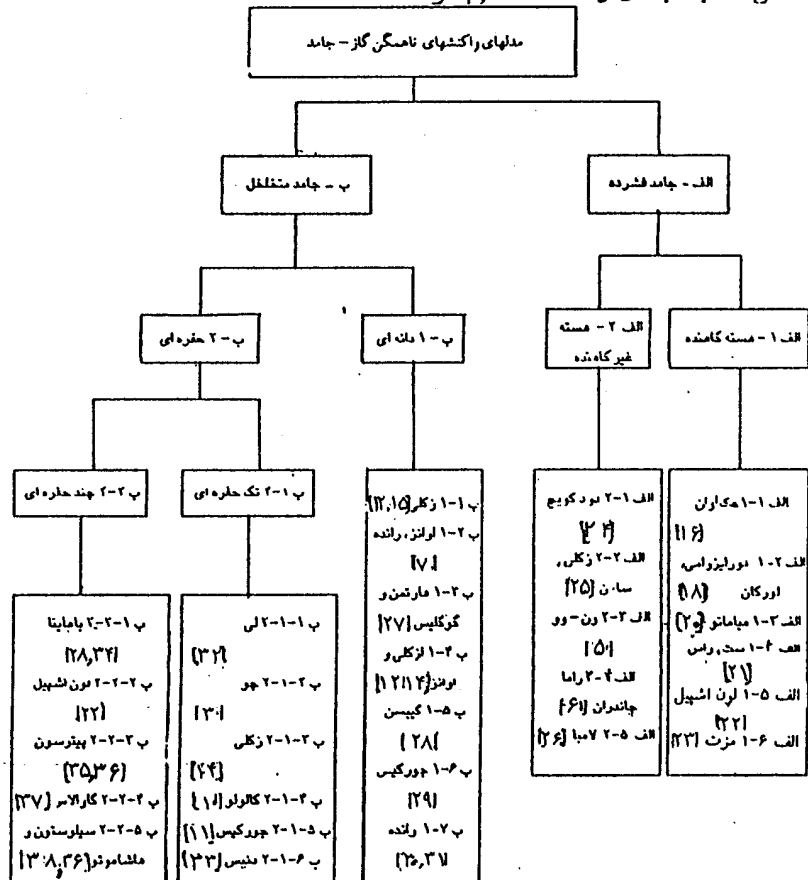
بطور کلی هدف اصلی از مطالعات سیستم‌های گاز - جامد پیش‌بینی و تجزیه و تحلیل تبدیل کل جامد بر حسب زمان است. مدل‌های ریاضی متعددی بمنظور ارتباط دادن میزان تبدیل جامد با پارامترهای مهم سیستم گاز - جامد متخلفل یا فشرده تاکنون طراحی شده که به میزان قابل توجهی با تایید تجربی ورق می‌کند. این مدل‌ها ابتدا از معادلات دیفرانسیل اصلی تشکیل شده و سپس با شرایط اولیه و مرزی و نیز در نظر گرفتن فرضهای مربوطه، حل شوند. بطور کلی حل این معادلات از روش‌های عددی (بجز حالات معده‌دی که از روش‌های تحلیلی حل می‌شوند) امکان‌پذیر است /۱۲, ۱۳, ۱۴, ۱۵/.

در این مقاله ابتدا مبنای آنالیز واکنش‌های گاز - جامد غیرکاتالیستی مختصرأً بحث می‌شود. سپس به طبقه‌بندی روابط میزان تبدیل جامد بر حسب زمان در مدل‌های سینتیکی سیستم واکنش گاز - جامد، در حالت تک دما، که بر اساس اطلاعات موجود و قابل دسترس جمع آوری و بررسی و شناسائی شده‌اند، پرداخته می‌شود. هر دسته از این مدل‌ها میتواند شامل تعدادی مدل و روابط نهائی زمان واکنش بر حسب میزان تبدیل جامد باشد. سپس برخی از شرایط و کاربرد این مدل‌ها و روابط سینتیکی بخاطر گستردگی زیاد بطور اجمالی بررسی می‌شود. بالاخره مدل‌های سیستم‌های گاز - جامد بطور کلی مورد بحث و تجزیه و تحلیل قرار می‌گیرند و نیز دستجات و مدل‌های مطرح شده در این مقاله با یکدیگر مقایسه شده و مزایا و معایب آنها مورد نقد و بررسی قرار می‌گیرند. تفاوت‌های عمده این مدل‌ها معمولاً در فرضها، نحوه انجام محاسبات مدل، روابط مدل، محسوب نمودن خصوصیات شخص فیزیکی واکنش کننده‌ها، استفاده از روابط کمکی و یا مختصر و کلی کردن روابط در هر مدل است.

بطوریکه مدل مربوطه بتواند با شرایط واقعی و آزمایشگاهی، مطابقت بهتری داشته باشد.

از این تحقیقات می‌توان بمنظور تفسیر نتایج آزمایشگاهی، طرح ریزی برنامه آزمایشگاهی و در شبیه‌سازی کامپیوتری واکنشهای گاز - جامد(فسرده یا متخلخل) بهره‌گیری کرد. به حال، ضرورت دارد، ایده‌های موجود پرامون این سیستم‌ها، در قالب مدل‌های ساختاری و بفرم یک عبارت کلی و جامع (بدون بعد)، مجتمع شوند. چنین عبارتی بطور ایده‌آل بایستی اندرکنش پارامترهای مختلف را در بر داشته باشد و چهارچوب ساده‌ای برای پیش‌بینی و تفسیر اطلاعات آزمایشگاهی ارائه نماید بطوریکه لزومی به مراجعات مکرر بمنظور انجام محاسبات عددی، نداشته باشد.

مدلهایی که تاکنون برای توجیه رفتار سیستم‌های گاز - جامد پیشنهاد شده و در این مقاله گردآوری و نقد شده‌اند، بگونه شکل ۱ طبقه‌بندی و هماهنگ می‌شوند:



شکل (۱) طبقه‌بندی الگوهای سینتیکی کاز - جامد

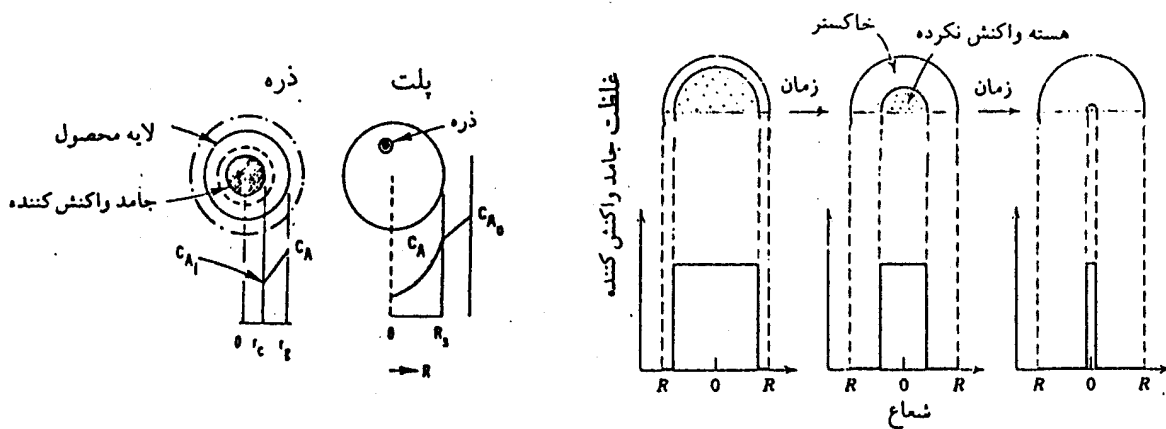
مدل خوب بايستی ضمن سادگی، شامل سیستمک شیمیایی و انتقال جرم و دینامیک واکنش گاز- جامد (ناحیه واکنش، سرعت واکنش، غلظت گاز) باشد و وضعیت سیستم در طول زمان و پارامترهای فیزیکی شامل شکل و اندازه دانه، ابعاد هندسی، تعداد قطعات، میزان تخلخل، تغییر ساختار درونی جامد، ضریب انتقال جرم و شرایط ترمودینامیکی در هنگام انجام آزمایش (تحویه تغییرات دما و فشار) را در بر گیرد (۴/).

الف: مدل‌های جامد فشرده

محیط جامد واکنش کننده می‌تواند فشرده، نظیر ذره غیرمتخلخل باشد (شکل ۲). در این حالت شروع واکنش از محیط و یا از نقطه تماس جامد با واکنش کننده‌های گازی است که بتدريج بداخل جامد پيشروي می‌کند. تاکنون مطالب گستردگی پيرامون مدل‌های واکنش‌های گاز - جامد فشرده در مقالات علمی منتشر شده است /۱۶, ۱۷, ۱۸, ۱۹, ۲۰/ اين مدلها نحوه رفتار جامد فشرده را در برابر گاز واکنش کننده پيش يبني می‌کنند و بطور کلي می‌توان آنها را بدو دسته: مدل‌های هسته کاهنده و هسته غيرکاهنده تقسيم يندی نمود. اين قسمت به برخی از تحقیقات انجام شده بر مبنای اين دسته از مدلها اختصاص داده شده است.

الف - ۱ - مدل هسته کاهنده

اين دسته مدلها جزو قدیمی‌ترین مدل‌های سیستم‌های گاز - جامد هستند که تاکنون مورد استفاده قرار گرفته‌اند. در این مدلها جامد فشرده عملاً در برابر گاز نفوذ ناپذیر است بعبارت دیگر مقاومت در برابر نفوذ گاز در داخل جامد واکنش کننده آنقدر بزرگ است که واکنش در سطح محدود می‌شود و یا اگر محصول جامدی بوجود آيد واکنش به سطح خارجی جامد محدود می‌شود. واکنش جامد با گاز ابتدا در سطح آن و یا در سطح مشترک تيزی انجام می‌شود بطوری که قشر خارجی (لایه خاکستر) و هسته جامد واکنش نکرده را بدو قسمت مجزا تقسیم می‌کند (شکل ۳). اين مدلها برای واکنش کننده جامد فشرده و با فرض حالت تک دما و با درجه واکنش ۱ در هنگامی که سرعت واکنش شیمیائی بسیار سریع باشد، بکار می‌روند. پارامترهای اصلی این مدلها عبارتند از: ثابت سرعت واکنش سطحی، نفوذ موثر گاز در لایه خاکستر.



شکل (۲): طرح اولیه مدل هسته کاهنده برای ذره جامد فشرده

مدل هسته کاهنده بطور منطقی واقعیت‌های واکنش را در حالات گستردگی سیستم‌ها معرفی می‌کند. معادلات سینتیکی که از نتایج تعدادی از تحقیقات انجام شده پيرامون سیستم‌های گاز - جامد بر اساس این مدل و برای جامدات فشرده و با واکنش کلی زير بدست آمده، بطور اجمالی در جداول ۱ و ۲ و ۳ آمده است.

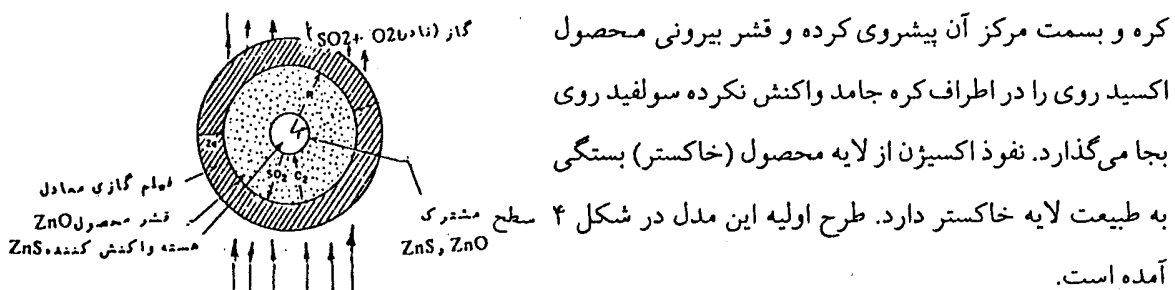
جدول (۱) روابط تبدیل جامد بر حسب زمان بر اساس مدل هسته کاہنده

| مرجع | رابطه تبدیل جامد بر حسب زمان | نوع کنترل | مدل |
|------|--------------------------------------------------------------------------------------------------------|----------------|---------|
| ۱۶ | $r.d.[1-(1-X)^{1/2}] = Kt$ | شیمیائی | الف ۱-۱ |
| ۱۸ | $\frac{r}{A_M} = X + Bi \left[1,5 - X - 1,5(1-X)^{1/2} \right]$ | نفوذ | الف ۱-۲ |
| ۲۰ | $kln \left[\frac{D}{P_e} \right] t = 1 - (1-X)^{1/2}$ | شیمیائی | الف ۱-۳ |
| ۲۱ | $t = \frac{r^2 d}{k_p(C_e - C_{eq})} \left[\frac{1}{2} - \frac{X}{2} - \frac{(1-X)^{1/2}}{2} \right]$ | شیمیائی | الف ۱-۴ |
| | $t = \frac{r^2 d}{k_p(C_e - C_{eq})} \left[-(1-X)^{1/2} \right]$ | شیمیائی و نفوذ | |

الف ۱-۱-۱ [۱۶] مدلی را برای احیاء چندین کانی آهن، هماتیت، مگنتیت توسط H_2 و N_2

مخلوط N_2, H_2 ارائه نمود. قبل از وی نیز چندین محقق تاییج تحقیقاتی خود را پیرامون نحوه پیشروی خطی سطح مشترک Fe/FeO گزارش کردند بطوریکه که آنها بعنوان پایه‌ای برای نظریه کنترل احیاء توسط مساحت سطح مطرح بوده است ولی *Mc kewans* به این نظریه جنبه ریاضی داد. او در این مدل فرض کرد که اولاً از اثر از دست دادن اکسیژن اکسید، قشر FeO متخلخل باقی خواهد ماند و ثانیاً انتقال گازهای احیاء کننده از لایه خاکستر سریع می‌باشد. رابطه زمان بر حسب میزان تبدیل جامد در این مدل در جدول ۱ آمده است.

الف ۱-۱-۲ - [۱۸] مدل نفوذ Doraiswamy, Gokarn (Diffusion Model) را برای واکنش اکسیداسیون سولفید روی و در حالتی که نفوذ کنترل کننده است، از طریق رابطه جدول ۱ معرفی کردند. مراحل انجام این واکنش بدین گونه است که ابتدا اکسیژن (هوای از فیلم گازی با ضخامت مشخص عبور می‌کند و در سطح مشترک واکنش انجام میدهد. در حین انجام واکنش سطح واکنش در داخل



شکل (۲): طرح اولیه مدل واکنش سولفید روی با اکسیژن

الف ۱-۱-۳ - [۲۰] Myamoto و همکاران سرعت کل واکنش گاز - جامد را در حالت کنترل شیمیائی بگونه‌ایکه در جدول ۱ آمده است، ارائه نمودند. مبنای این مدل، مدل هسته کاہنده است و واکنش مقدماتی از

درجه اول و شکل ذره کروی فرض می‌شود. این مدل در حالت کنترل کنندگی واکنش شیمیائی، تطابق زیادی با نتایج آزمایشها نشان می‌دهد.

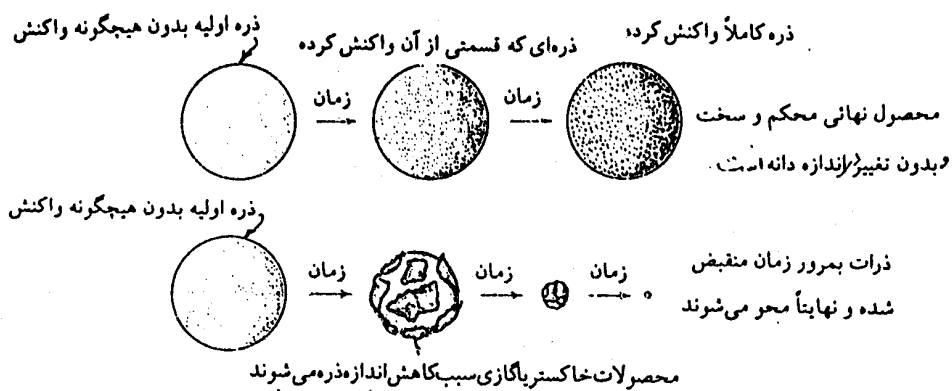
الف ۱-۴ [Seth, Ross - ۳۰] دو معادل کلی سرعت را برای احیاء اکسید آهن (هماتیت) با گاز نیتروژن بدست آوردند. از این دو، یکی در حالت کنترل شیمیائی و دیگری در حالت انتقال گاز و باکنترل از لایه مرزی است. این روابط در جدول ۱ آمده است. روابط زمان بر حسب سرعت که از طریق معادلات سرعت پیش‌بینی شده است تطابق بسیار خوبی با نتایج آزمایش پلت‌های با اندازه متفاوت، نشان می‌دهد.

الف ۱-۵ [Levenspiel ۲۲] با توجه به مدل هسته کاهنده روابط زمان بر حسب میزان تبدیل جامد را در حالات مختلف کنترل کننده سرعت و واکنش و برای اشکال گوناگون ذره بدست آورد. در جدول ۲ روابط سینتیکی این مدل برای اشکال مختلف ذره فشرده و نیز برای ذرات کوچک و بزرگ آمده است. با کمک این روابط می‌توان از طریق اندازه مختلف ذره مرحله کنترل کننده سرعت واکنش را تشخیص داد. این مدل با نتایج اکثر داده‌های آزمایشگاهی تطابق دارد.

جدول (۲) روابط زمان بر حسب میزان تبدیل جامد برای جامد فشرده با اشکال مختلف

| مدل | شکل نمونه | کنترل نفرذ در لایه خاکستر | کنترل نفرذ در فیلم خارجی | کنترل نفرذ در لایه خاکستر |
|-------------------|-----------|----------------------------------------------------------------------------------------|-------------------------------------------------------------------------------------------------------------------|-------------------------------------------------------------------------------------------------------|
| صفحه مسطح | | $\frac{t}{\tau} = x_B$ $\tau = \frac{\rho_B L}{bK_s C_{A_B}}$ | $\frac{t}{\tau} = X_B$ $\tau = \frac{\rho_B L}{bK_s C_{A_B}}$ | $\frac{t}{\tau} = X_B$ $\tau = \frac{\rho_B L}{bK_s C_{A_B}}$ |
| استوانه | | $\frac{t}{\tau} = 1 - (1-X_B)^{\frac{1}{n}}$ $\tau = \frac{\rho_B R}{bK_s C_{A_B}}$ | $\frac{t}{\tau} = X_B + (1-X_B) \ln(1-X_B)$ $\tau = \frac{\rho_B R}{\pi b D_c C_{A_B}}$ | $\frac{t}{\tau} = X_B$ $\tau = \frac{\rho_B R}{\pi b K_s C_{A_B}}$ |
| کره | | $\frac{t}{\tau} = 1 - (1-X_B)^{\frac{1}{n}}$ $\tau = \frac{\rho_B R}{bK_s C_{A_B}}$ | $\frac{t}{\tau} = 1 - \gamma(1-X_B)^{\frac{1}{n}} + \gamma(1-X_B)$ $\tau = \frac{\rho_B R}{\pi b D_c C_{A_B}}$ | $\frac{t}{\tau} = X_B$ $\tau = \frac{\rho_B R}{\pi b K_s C_{A_B}}$ |
| ذره کوچک | | $\frac{t}{\tau} = 1 - (1-X_B)^{\frac{1}{n}}$ $\tau = \frac{\rho_B R}{bK_s C_{A_B}}$ | — | $\frac{t}{\tau} = 1 - (1-X_B)^{\frac{1}{n}}$ $\tau = \frac{\rho_B R}{\pi b D_c C_{A_B}}$ |
| رژیم استرکس | | — | — | $\frac{t}{\tau} = 1 - (1-X_B)^{\frac{1}{n}}$ $\tau = \frac{\rho_B R}{\pi b D_c C_{A_B}}$ |
| ذره بزرگ | | $\frac{t}{\tau} = 1 - (1-X_B)^{\frac{1}{n}}$ $\tau = \frac{\rho_B R}{bK_s C_{A_B}}$ | — | $\frac{t}{\tau} = 1 - (1-X_B)^{\frac{1}{n}}$ $\tau = \left(\frac{R}{C_{A_B}}\right)^{\frac{1}{n}}$ |
| $U = \text{ثابت}$ | | — | — | — |

اندازه ذرات جامد واکنش کننده در حین واکنش از دونوع رفتار مختلف برخوردارند (شکل ۵). اگر واکنش کننده جامد مقادیر زیادی ناخالصی داشته باشد، در این حالت با انجام واکنش پوسته‌ای در سطح ایجاد می‌شود. این پوسته یا محصول واکنش مستحکم است (نظیر تشییه کانی‌های سولفیدی) در حالتی که خاکستر یا محصول ایجاد شده پوسته شود یا اینکه از جامد خالص در واکنش استفاده شود، اندازه ذرات در حین انجام واکنش کاهش می‌یابد (نظیر تولید کربن دی سولفید از اجزاء آن)



شکل (۵) انواع مختلف رفتار ذرات جامد واکنش کننده

الف ۱-۶ [Mazet ۲۳]، بر مبنای مدل هسته کاهنده روابط بین میزان تبدیل و زمان بدون بعد را در حالات مختلف کنترل کننده واکنش گاز - جامد ارائه نمود. روابط موجود برای سه شکل هندسی مختلف (نظیر: صفحه مسطح $F_p = 1$ ، استوانه $F_p = 2$ ، استوانه $F_p = 3$) و در حالتی که اندازه دانه در حین انجام واکنش ثابت و نیز متغیر است در جداول ۳ و ۴ آمده است. پارامترهای اصلی مدل عبارتند از: مدول تبله و عدد شروود.

محصول اغلب واکنش‌های گاز - جامد، جامد است که در آن حجم کل محصول جامد می‌تواند کاهش یا ثابت و یا افزایش یابد. این تغییر حجم به دانسته محصول جامد و اندازه دانه‌های واکنش کننده در حین انجام واکنش بستگی دارد. بهر حال غالباً تغییر حجم ناجیز است. بطوريکه در برخی مواقع اندازه کل جامد ثابت فرض می‌شود. در واکنش‌های دیگر، جامد واکنش کننده کلاً به گاز تبدیل می‌شود.

جدول (۳) روابط تبدیل جامد بر حسب زمان برای جامد فشرده با اندازه ثابت دانه

| پارامترهای قابل محاسبه | | | | | |
|------------------------|-----------------------|----------------------|-------------------------|---------------------------|-----------------|
| شرط sh^* | مدول تبله ϕ_g^2 | نفوذ خارجی $qF_g(X)$ | نفوذ داخلی $PF_g(X)$ | واکنش شبیه‌بازی $gf_g(X)$ | |
| $\frac{hD_r o}{D_g}$ | $\frac{k.r_o}{6.D_g}$ | X | $2(1-X)-3(1-X)^{2/3}+1$ | $1-(1-X)^{1/3}$ | کره $F_g=3$ |
| $\frac{hD_r o}{D_g}$ | $\frac{k.r_o}{4.D_g}$ | X | $(1-X)-\ln(1-X)+X$ | $1-(1-X)^{1/2}$ | استوانه $F_g=2$ |
| $\frac{hD_r o}{D_g}$ | $\frac{k.r_o}{2.D_g}$ | X | X^2 | X | دبسک $F_g=1$ |

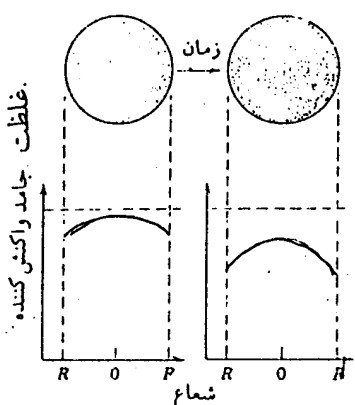
جدول (۴) روابط زمان بر حسب میزان تبدیل جامد برای جامد فشرده با اندازه متغیر دانه

| پارامترهای قابل محاسبه | | | | | |
|---------------------------------------------------------------------------------|----------------------------------------------------------------------------|----------------------------------------------------------|-----------------------------------------------------------------|-------------------|----------------------|
| sh^* | ϕ_g^2 | مدول نبله | $qF_g(X)$ | نفوذ داخلی | واکنش شیمیائی |
| $\frac{h_p \cdot r}{D_g} \left[\frac{Z^{1/r} - Z}{1 - Z^{1/r}} \right]$ | $\frac{k \cdot r}{\gamma D_g} \left[\frac{Z^{1/r} - Z}{1 - Z} \right]$ | $\frac{1 - ((1-Z)(1-X+Z))^{1/r}}{1 - Z^{1/r}}$ | $\frac{[Z \cdot (1-Z)(1-X)^{1/r}]^{1/r}}{[Z \cdot Z^{1/r}]}$ | $1 - (1-X)^{1/r}$ | گره ۳ $f_g = 3$ |
| $\frac{h_p \cdot r}{D} \left[\frac{-Z \cdot L_n Z}{\gamma(1-Z)^{1/r}} \right]$ | $\frac{k \cdot r}{\gamma D_g} \left[\frac{-Z \cdot L_n Z}{1 - Z} \right]$ | $\frac{[1 - ((1-Z)(1-X)+Z)^{1/r}]^{1/r}}{[1 - Z^{1/r}]}$ | $\frac{\ln((1-Z)(1-X+Z))}{[-Z \cdot L_n Z] \cdot [(1-Z)(1-X)]}$ | $1 - (1-X)^{1/2}$ | استرانه $f_g = 2$ |
| $\frac{h_p \cdot r}{D_g} \cdot [Z]$ | $\frac{K_s \cdot r}{\gamma D_g} \cdot [Z]$ | X | X^r | X | دبیک $f_g = 1$ |

الف - ۲ - مدل هسته غیر کاهنده:

در حالیکه جامد واکنش کننده شامل حفره های فوق العاده کم ولی کافی باشد بطوری که گاز واکنش کننده تا حدی بداخل آن نفوذ کند دیگر مدل های هسته کاهنده کاربرد چندانی ندارند. در این شرایط در اثر نفوذ گاز واکنش کننده بداخل جامد واکنش کننده بجای آنکه واکنش شیمیائی در سطح مشترک نیز رخ دهد، در حجم پلت و با شیب کند غلظت گاز واکنش کننده، انجام می شود. بعارت دیگر واکنش های شیمیائی و نفوذ بطور همزمان انجام

می شوند. مدل های توصیف کننده این شرایط مدل های هسته غیر کاهنده نامیده می شوند (شکل ۶). در این حالت بعلت وجود در نفوذ گاز، سرعت واکنش در نقاط نزدیک به مرکز پلت کنتر از سرعت واکنش در سطح آن است. نتایج برخی از مدل های ارائه شده در این زمینه در جدول ۵ آمده است.



شکل (۶): بروفل غلظت گاز و جامد و در مدل های هسته غیر کاهنده.

جدول (۵): روابط میزان تبدیل جامد فشرده بر حسب زمان در مدل‌های هسته غیرکاهنده

| مرجع | پارامترهای قابل محاسبه | رابطه تبدیل جامد بر حسب زمان | مدل | |
|----------|---------------------------------------------------------------------------------------------------------------------------------------------------------------------------------------------------------------------------------------------------------------------------------------------------------------------------------------------------------------------------------------------------------------------------------------------------------------|---------------------------------------------------------------------------------------------------------------------|---------------------------------------------------------------------------------------------------------------------------------------|---------|
| ۲۴ و ۲۶ | $\phi = \left[R^{\frac{1}{n}} k_v(T_e) A_k^m B_e^n / D_e \right]^{\frac{1}{n}}$, $C_m = \int_0^t u d\tau$ $\tau = v_B k_v(T_e) A_k^m B_e^{n-1} t$ | $X = \frac{(1-S_p)}{\phi} - \left[\frac{dC_m}{dy} \right]_{y=1}$ | الف ۲-۱ | |
| ۱۰ ۱۲ | $P_{F_p}(\eta_c) \equiv (1-\eta_c)^{\frac{1}{n}}$, for $F_p = 1$ $P_{F_p}(\eta_c) \equiv 1 - \eta_c^{\frac{1}{n}} + \eta_c^{\frac{1}{n}} \ln \eta_c^{\frac{1}{n}} F_p = 2$ $P_{F_p}(\eta_c) = 1 - \eta_c^{\frac{1}{n}} + 2\eta_c^{\frac{1}{n}}, \text{ for } F_p = 3$ $\sigma_s^{\frac{1}{n}} \equiv k c_{AB}^{n-1} / 2 D_e (V_p / A_p) \dots$ $t^* \equiv b k C_{AB}^n / \rho_B (A_p / F_p V_p) t$. $\eta_c = (A_p / F_p V_p) \tau_c \dots$ | $t^* = (1-\eta_c) + \sigma_c^{\frac{1}{n}} P_{F_p}(\eta_c) \dots$ | الف ۲-۲ | |
| ۵ | $\phi_{v.} = R(k_v C_{s.} / D_{eA})^{\frac{1}{n}}$ $M \equiv \phi_{v.} (1-X)^{\frac{1}{n}}$ | $\ln \{(\cosh \phi_{v.} - \tanh \phi_{v.})\} -$ $\ln \{(\cosh M)(M - \tanh M)\} =$ $(3/2) k_v C_{A0} \cdot t$ | الف ۲-۳ | |
| ۶ | $(b.(x) = C_B(x) / \bar{C}_{B.})$ | کنترب شیمیانی | $X = 1 - (1+\beta) \int_0^t x^{\beta} \left[(b.(x))^{1-n} - (1-n) t \right]^{\frac{1}{1/(1-n)}} dx.$ | الف ۲-۴ |
| | | کنترب نفره | $X = (1-\beta) \int_t^1 x^{\beta} b.(x) dx.$ | |
| ۲۶ | $\phi = L \sqrt{\left(\frac{k_r C_{B.}}{D_{eA} C_{A.}} \right)}$ | مدل ناچه‌ای | $X = \frac{\sqrt{2}}{\phi} \{ \sqrt{(1+\theta)} - I_D(\sqrt{(1+\theta)}) - e^{-\theta} [1 - I_D(1)] \}; \quad \theta \leq \theta_c^*$ | الف ۲-۵ |
| ۲۲ | $\phi_{v.} = k_v (C_{A.} - C_A^*) t$ $\phi'_{v.} = R \sqrt{\frac{a k_v C_{s.}}{D'_{eA}}}$ | مدل یک مرحله‌ای | $X = \frac{2}{(\phi'_{v.})^{\frac{1}{n}}} (\phi'_{v.} \coth \phi'_{v.} - 1) \cdot \frac{\theta_v}{\theta_{vc}}$ | |

الف - ۲-۱ - ۲-۵ [Dudokovic, Lamba ۲۶ و ۲۴] بمنظور حل معادلات سیستم واکنش‌های گاز جامد در حالت تک دما و از درجه اول نسبت به گاز، راه حل تحلیلی با کمک غلظت متوسط جامد (C_m) ارائه کردند. رابطه تبدیل جامد بر حسب زمان آن در جدول ۵ آمده است.

الف - ۲ - ۲ [۱۲] برای این دسته از واکنش‌ها و برای حالت تک دما و نیز از درجه اول نسبت به گاز روش تحلیلی پیشنهاد نمودند که نتایج آن در جدول ۵ آمده است. رابطه زمان بر حسب میزان تبدیل جامد برای سه شکل هندسی (صفحه مسطح $F_p=1$ استوانه $F_p=2$ کره $F_p=3$) در نظر گرفته شده است و معادلات سرعت پیشروی جبهه واکنش در این مدل با فرض واکنش ایزوترمال و از درجه ۱ حل می‌شود. در صورتی که اغلب مدل‌ها فرض درجه ۱ واکنش را بخاطر سهولت در انجام محاسبات ریاضی در نظر می‌گیرند.

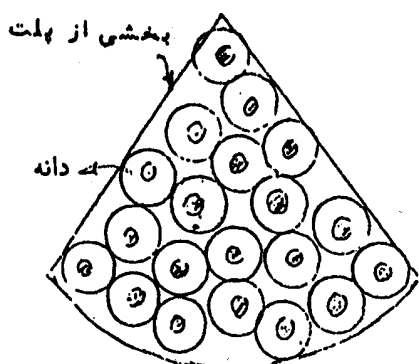
الف - ۲ - ۳ [۵] با بهره‌گیری از غلظت متوسط جامد در پلت برای معادلات سیستم‌های گاز - جامد راه حل تحلیلی ارائه نمودند. این مدل به مدل واکنش حجمی یک پارامتری (*One Parameter Volume Reaction Model*) معروف است (جدول ۵). آنها برای بررسی میزان واکنش کنندگی جامد در حین انجام واکنش از مدل تیله اصلاح شده استفاده کردند. نتایج این مدل با نتایج آزمایشی بدست آمده از واکنش کربن و کربن دی اکسید ورق می‌کند.

الف - ۲ - ۴ [۶] تأثیر توزیع غیریکنواخت واکنش کننده جامد را بر روی میزان تبدیل ذرات جامد در واکنش گاز - جامد بر اساس مدل خودکه بنام مدل واکنش حجمی (*Volume Reaction Model*) معروف است در دو حالت کنترل کننده شیمیائی و نفوذ تجزیه و تحلیل کرد (جدول ۵).

الف - ۲ - ۵ [۲۶] مدلی بنام مدل ناحیه‌ای (*Zone Model*) برای واکنش ذرات جامد از درجه صفر نسبت به سیال واکنش کننده و از درجه ۱ نسبت به جامد واکنش کننده پیشنهاد کردند و نیز راه حل‌های تحلیلی برای تبدیل جامد بر حسب زمان ارائه نمودند. تأثیر پارامترهای مدل نظری: عدد بیوت و مدل تیله (*Thiele*) در این روابط مورد بررسی قرار گرفت. این مدل نحوه رفتار ذره را بر حسب زمان واکنش پیش‌بینی می‌کند. این مدل همراه با مدل‌های مشابه دیگر نظری: مدل ۱ مرحله‌ای (۴۲/ در جدول ۵ آمده است.

ب: مدل‌های جامد متخلخل

در مدل‌های جامد فشرده که قبلاً شرح داده شد اثرات خواص فیزیکی جامد نظری: حفره‌ها و عمل زینترشدگی در سرعت پیشرفت واکنش گاز - جامد در نظر گرفته نشده بود. مدل‌های جامد متخلخل، پارامترهای فوق را در نظر گرفته و نحوه رفتار جامد متخلخل را در برابر واکنش کننده گازی پیش‌بینی می‌کنند. جامد متخلخل در این مدل‌ها محیطی است که در آن غلظت سیال و جامد واکنش کننده تابعی از زمان و موقعیت پلت است. بطور کلی این مدل‌ها را می‌توان بدو دسته: مدل‌های دانه‌ای و مدل‌های حفره‌ای تقسیم بندی نمود.



شکل (۷): طرح اولیه مدل دانه‌ای

ب - ۱ - مدل‌های دانه‌ای (Grain Models)

ساده‌ترین مدل برای آنالیز واکنش‌های گاز - جامد غیرکاتالیستی با محصول جامد، مدل دانه‌ای است. در این مدل‌ها فرض بر اینست که پلت جامد متخلخل از دانه‌ها یا ذره‌های ریز کروی که بطور یکنواخت در داخل آن پراکنده

شده‌اند، ساخته شده است. $[12, 14, 15, 27, 40]$ بطوریکه در فضای بین دانه‌ها یک شبکه متخلخل قرار دارد و از درون آن گاز عبور کرده و به سطح دانه‌ها می‌رسد. در سطح هر دانه واکنش شیمیائی بر اساس مدل هسته کامنه رخ می‌دهد و با گذشت زمان در اطراف هر دانه لایه محصول ایجاد می‌شود که مانع در برابر نفوذ گاز خواهد بود (شکل ۷) در روابط اولیه این مدل که بافرض ثابت بودن تغییرات فیزیکی در جامد و در ضمん واکنش صورت گرفته بود اصلاحات لازم صورت گرفته است. در جداول ۵ و ۶ و ۷ نتایج برخی از تحقیقات انجام شده در این زمینه آمده است.

ب - ۱ - Szekely و همکاران [۱۲, ۱۵, ۴۰]، نتایج تحقیقات خود را در چند مقاله پی در پی در خصوص واکنش‌های جامد - گاز در حالت تک دما و از درجه اول نسبت به گاز واکنش کننده بصورت روابط کلی ارائه نمودند (جدول ۶). آنها معادلات اصلی را در حالت واکنش شیمیائی و نفوذ از لایه محصول متخلخل و انتقال جرم خارجی در مقاله‌های اولیه خود فرموله و گزارش کردند و نیز برای پلت‌های کروی، با دانه‌های کروی مدلی را ارائه نمودند و آنرا برای فرآیند احیاء پلت‌های اکسید نیکل با نیدروژن بکار برند $[13]$. ایشان کلیه حالات ممکن شکل‌های پلت و دانه (که جمعاً ۹ حالت می‌شود) را در قالب یک رابطه کلی نشان دادند. در همین راستا $[4/Mazel]$ روابط مشابه ولی جامعتر گزارش نمود.

جدول (۶): روابط زمان بر حسب میزان تبدیل جامد متخلخل

| $F_p = 2$ | $F_p = 1$ | $F_p = 1$ | |
|-----------------------------------------------------------------------------------------------------------------------------------------------------------------------------------------------------------------------------------------------------------------------------------------------------------------------------------------------------------------------------|--------------------------|-----------|-----------------------------------|
| $1 - (1 - X)^{1/3}$ | $1 - (1 - X)^{1/2}$ | X | کنترل شیمیائی $(g_{F_p}(X))$ |
| $1 - 3(1 - X)^{2/3} + 2(1 - X)$ | $X + (1 - X) \ln(1 - X)$ | X^* | کنترل نفوذ در حفره $(P_{F_p}(X))$ |
| $\hat{\sigma} \equiv \frac{V_p}{A_p} \sqrt{\frac{(1-\epsilon) F_p k}{\gamma D_e}} \left(\frac{A_k}{F_g V_g} \right), \sigma_s^* \equiv \frac{k(1+1/K)}{\gamma F_p D_e} \left(\frac{F_p V_p}{A_p} \right), t^* \equiv \frac{bk}{\sigma_s^* D_e}, \left(\frac{A_p}{F_p V_p} \right) (c_{Ab} - c_{cb}/K) t, sh^* \equiv \frac{k_c}{D_e} \left(\frac{F_p V_p}{A_p} \right)$ | | | |

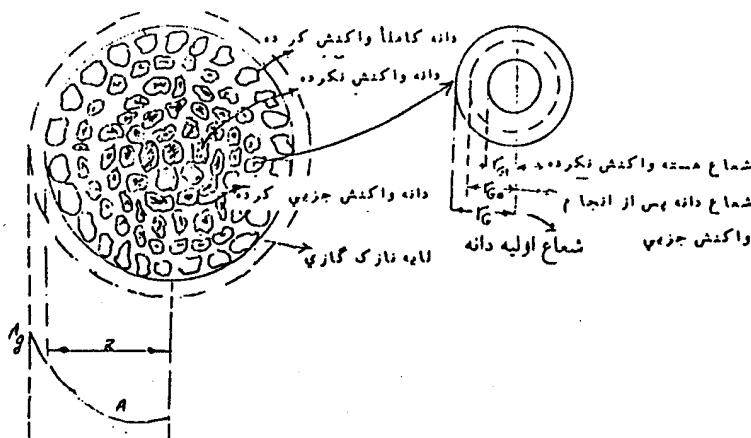
ب - ۲ - Evans, Rande [۷] رابطه تقریبی جالبی را برای پیشرفت واکنش گاز - جامد کروی و بر

اساس مدل دانه‌ای و برای حالتی که اندازه دانه‌ها در پلت متخلخل یکنراخت نیست، ارائه نمودند. رابطه جدول ۷ اصلاحیه‌ای برای مدل دانه‌ای است بطوریکه پارامترهای P_1 و P_3 در جدول تعریف شده‌اند و P_2 انرژی تحریک است. رابطه فوق‌الذکر با نتایج حاصل از داده‌های آزمایش‌های احیاء هماتیت با گاز هیدروژن مطابقت دارد.

جدول (۷) رابطه زمان پر حسب تبدیل جامد متخلخل (اصلاحیه مدل دانه‌ای)

| |
|--------------------------------------------------------------------------------------------------------------------------------------------------------------------------------------------------------------------------------------------------------------------------------------------------------------|
| $\tau = \frac{1}{\rho_F} \exp \left\{ -0.9 \left(\ln \left(\hat{\sigma} / 1.18 \right) \right)^2 \right\}$ $\text{پارامترهای قابل محاسبه}$ $\hat{\sigma} = R_p \left[\frac{p_r \exp(-p_r/RT)(1+1/K_F)}{T^{1/3}} \right]^{1/2}, p_r = \frac{(1-\epsilon_p)}{D_p}, \rho_F = \frac{\rho_i F_g V_g}{h k A_k}$ |
|--------------------------------------------------------------------------------------------------------------------------------------------------------------------------------------------------------------------------------------------------------------------------------------------------------------|

ب ۱-۳ [۲۷] Hartman, Coughlin با استفاده از رابطه بین تخلخل ذره و درصد تبدیل جامد، مدل دانه‌ای را اصلاح کردند. در این مدل، فرض براین است که شعاع دانه (r_G) بدلیل اختلاف در حجم مولال واکنش کننده جامد و محصول تغییر می‌کند. در شکل ۸، فرم اولیه این حالت آمده است. نحوه تغییرات شعاع ذره و ارتباط آن با تخلخل از معادلات زیر مشخص می‌شود.

$$\frac{1-\epsilon}{1+\epsilon} = \left[\frac{r_G}{r_{G0}} \right]^2, r_G = \left[r_{G0} + z_r(r_{G0} - r_{Gi}) \right]^{\frac{1}{2}}$$


شکل (۸) طرح اولیه مدل دانه‌ای با اندازه متغیر دانه

نسبت مولال حجمی محصول به جامد واکنش کننده می‌باشد که عبارتست از:

$$Z_v = \frac{V_{G0} \rho_B M_n}{V_{G0} \rho_B M_n + V_{B0} P_G (1-\epsilon_G) M_n}$$

از طریق پارامتر Z_v تغییرات ابعاد دانه تعیین می‌شود. $Z_v < 1$ دانه پلت در حین واکنش منبعی سود و در $Z_v > 1$ دانه پلت متورم می‌شود و در $Z_v = 1$ اندازه دانه با پیشرفت واکنش تغییر نمی‌کند. در این مدل بسته شدن حفره‌ها در حین واکنش در نظر گرفته نمی‌شود.

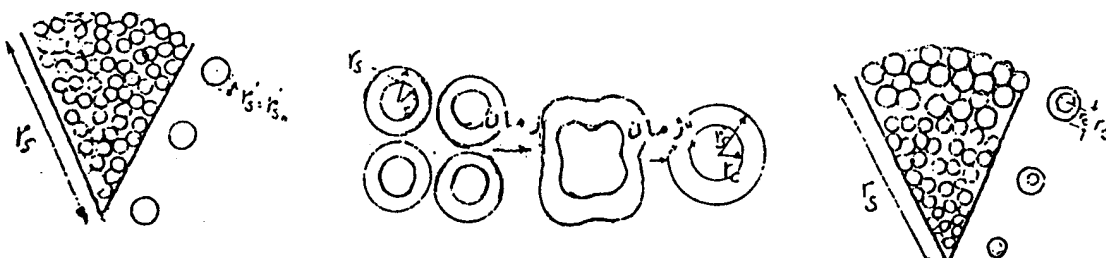
ب ۱-۴ [۱۴ و ۱۲] تحلیل مفصلی از این نوع مدل ارائه نمودند. بر اساس مدل دانه‌ای و با فرض کروی بودن دانه‌ها، سرعت واکنش در حجم پلت بگونه‌ای است که در جدول ۸ آمده است. مدل فوق‌الذکر دارای ۵ پارامتر K_F و D_{G0} و D_{G0} و V_g و ρ_F شکل دانه می‌باشد. محققین فوق راه حل‌های عددی مفصلی برای حل معادلات مدل دانه‌ای ارائه نمودند و همچنین تعدادی دیگر از محققین [۴۱، ۹، ۱۴] راه حل‌های تحلیلی برای حل معادلات در حالت تک دما گزارش کردند. در این مدل میزان انقباض فضای بین دانه‌ها که در واکنش دخالتی ندارند با یک رابطه مقدماتی مشخص می‌شود.

جدول (۸): روابط سرعت واکنش جامد متخلفل در مدل دانه‌ای

| مرجع | رابطه سرعت تبدیل جامد | مدل |
|---------|------------------------------------------------------------------------------------------------------------------------------------------------------------------------------|-------|
| ۴۶ | $r_A = \frac{r(1-\varepsilon_i)r^* KC_{AD}}{r^* \left[1 + \frac{r^*}{D} (1 - \frac{r^*}{r_i}) \right]}$ | ب ۱-۴ |
| ۲۸ | $\frac{dr^*_C}{dt} = \frac{a_s k_s C_A}{\left[1 - \frac{a_s k_s C_A r^*}{D_A} \left(1 - \frac{r^*}{r_i} \right) \right]}$ | ب ۱-۵ |
| ۱۱ | $\frac{dX}{dt} = \frac{k_s S_c C(1-X)^{1/r}}{(1-\varepsilon_i) \left[1 + \frac{r^*}{r} \left[(1-X)^{1/r} - \frac{(1-X)^{1/r}}{[(z-1)X]^{1/r}} \right] \right]}$ | ب ۱-۶ |
| ۳۰ و ۳۱ | $\frac{dX}{dt} = \frac{-r \sigma_R (1-X)^{1/r} K_s C_{AG}}{r_s \left\{ 1 - \frac{r_s K_s C_R (1-X)^{1/r} C_R (1-X)^{1/r} r_s}{D^*} \left[1 - (1-X)^{1/r} \right] \right\}}$ | ب ۱-۷ |

ب ۱-۵ [Gibson ۲۸] رابطه‌ای را برای تبدیل جامد بر حسب شعاع هسته واکنش نکرده و برای دانه‌های تکی ارائه نمود (جدول ۸). رابطه این مدل برای سیستم واکنش ZnO با نیدروژن وقتی کند. ب ۱-۶ و همکاران Georgakis [۱۱] رابطه تحلیلی تبدیل - زمان را در سیستم واکنش گاز - جامد و برای دانه‌های کروی بگونه‌ای که در جدول ۸ آمده است، گزارش نمودند. در این مدل فرض بر این است که دانه‌ها بخاطر افزایش در حجم مولار محصول نسبت به حجم مولار جامد اولیه، افزایش کرده ولی حجم کل پلت ثابت است و فقط حفره‌ها منقبض می‌شوند و دانه‌ها بدون هیچگونه رویهم افتادگی بطور مستقل رشد می‌کنند. کاربرد این مدل برای واکنش $(CaO+SO_2)$, O_2 مطلوب بوده است.

ب ۱-۷ Rande, Harison [۳۰ و ۳۱] مدلی بنام مدل دانه‌ای با خواص متغیر (Variable Property Grain Model) ارائه نمودند. این مدل، اصلاح شده مدل دانه‌ای است که اثرات زینترشدنگی در آن در نظر گرفته شده است. در این مدل یک پلت کروی با تعداد سیار زیادی دانه با خواص متغیر (شکل ۹) در نظر گرفته می‌شود که در اثر واکنش شیمیائی و زینترشدنگی تغییر می‌کنند. رابطه میزان تبدیل بر حسب زمان در این مدل در جدول ۸ آمده است.



a) حالتهای اولیه

b) مراحل زینتر شدن

c) حالتهای میانی

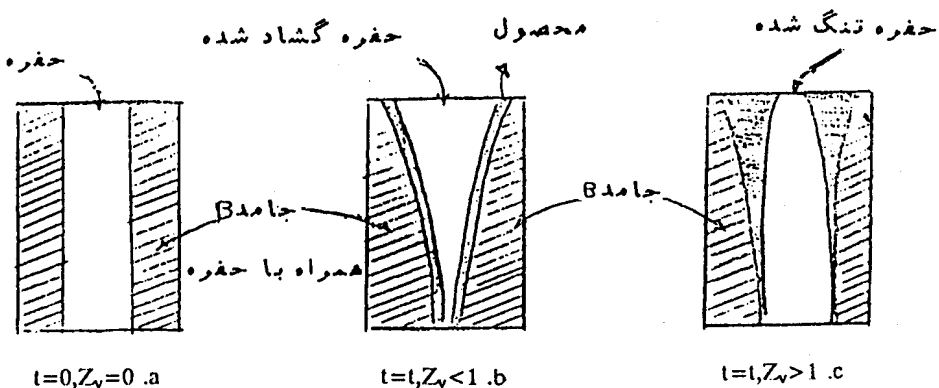
شکل (۹): طرحهای اولیه مدل دانه‌ای با خواص متغیر

ب - ۲ - مدل حفره‌ای (Pore Models)

بطور کلی تحقیقاتی که بر اساس تجزیه و تحلیل حفره‌های موجود در جامد متخلخل استوار می‌باشد رو به تزاید است. در مدل‌های حفره‌ای جامد متخلخل جامد نیمه بی‌نهایت فرض می‌شود که شامل حفره‌های نسبتاً بزرگ (ماکرو) در یک فاز جامد پیوسته است (۱۴، ۲۷، ۴۱). در این قسمت به انواع این مدل‌ها که شامل: مدل‌های تک حفره‌ای و مدل‌های چند حفره‌ای یا حفره‌های توزیع شده است، بهمراه برخی از کاربردهای آنها، پرداخته می‌شود.

ب ۱ - مدل‌های تک حفره‌ای (Single Pore Models)

مدل‌های تک حفره‌ای از نگرشی کاملاً متفاوت نسبت به مدل‌های قبلی برخوردارند. همان‌گونه که از نام این مدل‌ها استنباط می‌شود جامد متخلخل دارای حفره‌های تکی مجزا است. در این مدل‌ها به تغییراتی که در یک حفره رخ می‌دهد توجه خاصی می‌شود [۷]. این تغییرات بنوبه خود می‌توانند انعکاسی باشد از آنچه که در پلت رخ می‌دهد. در مدل‌های حفره‌ای روش‌های ساده‌ای جهت بحساب آوردن تغییرات هندسه حفره در حین انجام واکنش بکار می‌رود. طرح اولیه این مدل در شکل ۱۰ آمده است. این مدل واکنش $CaO + SO_2 \rightarrow CaSO_4$ را بخوبی توجیه می‌کند.



شکل شماره (۱۰) طرحهای اولیه مدل تک حفره‌ای با Z_v متفاوت

پارامترهای مدل فوق عبارتند از: ۱-شعاع متوسط حفره ۲-شعاع پلت مربوطه ۳-طول مؤثر حفره ۴-نفوذ مؤثر در لایه محصول ۵-ثابت سرعت واکنش ۶-نسبت حجم محصول جامد به حجم مولی واکنش کننده جامد. در جدول ۹ نتایج برخی تحقیقات در این زمینه آمده است.

جدول (۹): روابط تبدیل جامد متخلفل بر حسب زمان در مدل‌های تک حفره‌ای

| مرجع | بارامترهای قابل محاسبه | رابطه تبدیل جامد بر حسب زمان | مدل |
|------|----------------------------------------------------------------------------------------------------------------------------------------------------------------------------------------------------------------------------------------|------------------------------------------------------------------------------------------------------------------------------------------------------------------------------------------------------------------------------------------------------------------------------------------------------------------------------------------------------------------------------------------------------------------|---------|
| ۲۴ | $\eta(z) = \tanh \phi / \phi$ $\phi(z) = l \left[1/Dy \left[(1+z)(1-\gamma)(1/\varepsilon_s - 1) \right] \right]$ $\left[\frac{1}{k} + \frac{\gamma \gamma (1/\varepsilon_s - 1)}{D_s} z \right]^{1/2}$ | $z + \frac{ky}{\gamma D_s} \gamma (1/\varepsilon_s - 1) z^2 = \frac{k g m_a C_s \eta(z)}{G(1-\varepsilon_a)(1/\varepsilon_s - 1) \gamma'} l$ | ۲-۱-۱ ب |
| ۳ | $\delta = D_s L / D_p L_p$ $\beta = c_s / \omega$ $\alpha = K L_s / D_s$ $\eta = \frac{\gamma}{L_s}$ $\tau = \frac{D_s t}{L_s}$ | $\bar{\eta} = \frac{\gamma}{a} \sqrt{\frac{\gamma}{a\eta}} \left[\frac{1}{\gamma} \left(\sqrt{\gamma a \beta \tau + 1} + \gamma \right)^{1/\gamma} \sqrt{\gamma a \beta \tau + 1} - \gamma \right] + \sqrt{\gamma}$ $\eta_1 \leq \eta < \infty$ $\bar{\eta} = \left[a \beta \tau + \frac{a^2 - 9a - 29 + 12\sqrt{3}\sqrt{a+2}}{9a} \right] \sqrt{\frac{\gamma}{a \delta (a+2)}}$ $0 < \eta < \eta_1$ | ۲-۱-۲ ب |
| ۱۰ | $X_b = 1 - R^{*\tau}$, $I^* = \gamma k_{A_R} b c_{A_R} I / R_*^\gamma c_B$. | $I^* = \frac{1}{\gamma} \left(\frac{1}{B i_k} - \frac{1}{B i_p} \right) (1 - R^{*\tau}) + \frac{1}{\gamma B i_p} (1 - R^{*\tau}) + (1 - R^*)$ | ۲-۱-۳ ب |
| ۱۱ | $\beta_{IP} = \frac{D_s}{K_s}$ | $\tau_{IP} = \frac{1}{B i_p} \left[\frac{z_v}{z_v - 1} - \frac{1}{(1 - \varepsilon_s)^{1/\gamma}} \left\{ 1 + \frac{z_v}{1 - z_v} \varepsilon_s \right\}^{1/\gamma} - \frac{1}{z_v - 1} \cdot \frac{1}{(1 - \varepsilon_s)^{1/\gamma}} \right] + 1 - \frac{1}{(1 - \varepsilon_s)^{1/\gamma}} x$ $\left[1 + \frac{z_v}{1 - z_v} \varepsilon_s \right]^{1/\gamma}$ | ۲-۱-۴ ب |
| ۲۳ | $p_T = \gamma^{\frac{1}{\gamma}} \sqrt{\gamma} (a C_s)^{\frac{1}{\gamma}} / \Delta \phi \beta^{\frac{1}{\gamma}}$ $p_1 = \gamma^{\frac{1}{\gamma}} \sqrt{\gamma} (a C_s)^{\frac{1}{\gamma}} / \gamma \phi \beta^{\frac{1}{\gamma}}$ | $\frac{\bar{X}}{I^{\gamma}} = p_1 - p_T I^{\frac{1}{\gamma}}$ | ۲-۱-۵ ب |

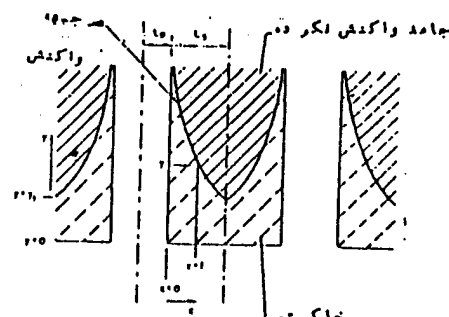
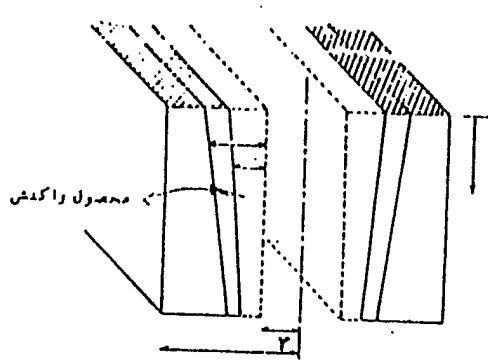
ب ۲-۱-۱ [۲۴] Lee، مدل صفحه موازی را برای واکنش کاز - جامد متخلفل پیشنهاد کرد. او نیز برای تعیین نحوه ارتباط زمان و میزان تبدیل جامد واکنش کننده راه حل تحلیلی با کمک روش متوسط‌گیری (Averaging Technique) ارائه نمود. این مدل از لحاظ ایده اولیه، مشابه با مدل تک حفره‌ای است. روابط تحلیلی که توسعه داده شد برای مقادیر کم و متوسط مدول تیله (Thiele) اعتبار دارد. رابطه ساده ب ۲-۱-۲ (جدول ۹) بخوبی تبدیل جامد را نشان می‌دهد. این رابطه کلی را می‌توان برای تمام حالاتی که در آنها حفره‌ها در اثر پیشرفت واکنش منبسط یا منقبض شوند، بطور یکسان استفاده کرد.

جهت بکارگیری رابطه مدل در حالت انقباض حفره‌ها، فقط کافیست δ - جایگزین δ شود. یک حفره از

مدل صفحه موازی در شکل ۱۱ نشان داده شده است. خطوط پررنگ در این شکل، قسمت جامد را نشان می‌دهد و خط چین هاشانده‌نده عدم حضور جامد در اثر انجام واکنش است.

ب ۲-۱-۲- Chu [۳] مدل صفحه موازی (*Parallel Plate Model*) را گسترش داد. وی در این مدل فرض کرد زمینه جامد از تعدادی صفحات موازی با ضخامت معین تشکیل شده است بطوریکه آنها توسط تعدادی حفره موازی با ضخامت‌های مشخص از همیگر جدا شده‌اند. در این مدل، زمینه جامد نیمه بی‌نهایت فرض می‌شود. در شکل ۱۲، طرح اولیه‌ای از مدل صفحه موازی آمده است. روابط پیشرفت واکنش در حفره موجود در زمینه جامد در مدل فوق الذکر در جدول ۹ آمده است. این مدل از ویژگیهای مدل حفره استوانه‌ای Szekely, Evans [۱۴] برخوردار است و مزیت دیگر آن، صراحت روابط بین میزان پیشرفت واکنش و پارامترهای مختلف فیزیکی و شیمیائی آن است.

ب ۲-۱-۲- Szekely, Evans [۱۴] نیز مدلی تحت عنوان مدل حفره‌ای (*Pore Model*) ارائه نمودند که شباهت زیادی با مدل Chu [۳] دارد.

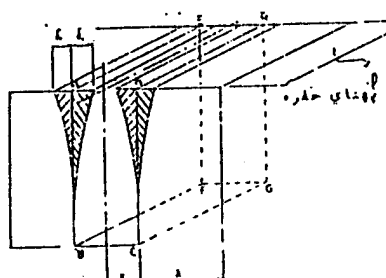


ب ۲-۱-۳- Calvelo, Cunningham [۱۰] رابطه‌ای برای میزان تبدیل - زمان در واکنش گاز - جامد متخلخل ارائه نمودند که آن را از راه حل تحلیلی بدست آوردند. فرضهای این مدل عبارتست از: سیستم تک دما، واکنش غیر رورسیبل و از درجه اول نسبت به واکنش کننده گازی، مدول تیله (Thiele) بزرگ و حالت شبه ثبات واکنش کننده گازی. رابطه فوق الذکر بگونه‌ای است که در جدول ۹ آمده است.

ب ۲-۱-۴- Georgakis و همکاران [۱۱] زمان مورد نیاز برای بسته شدن حفره (*Pore Closure*) جامد متخلخل را به کمک رابطه جدول ۹ ارائه نمودند. ماکریم تبدیل زمانی رخ می‌دهد که: $I > Z_v > 43$.

ب ۲-۱-۵- Dennis, Hayhurst [۳۳]، مدل تحلیلی ساده‌ای را برای جامد متخلخل ارائه نمودند. در این مدل پارامترهای سرعت تبدیل بصراحت مشخص گردیده است. در این مدل جامد ترکیب شونده تعدادی حفره موازی دارد که هر کدام طول مشخصی دارند و

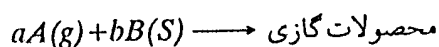
با شکل گره (*Wedge*) هستند (شکل ۱۳). هر حفره با یک جامد ترکیب شونده بطول λ همراه است و واکنش فقط در سطوح موازی اطراف هر حفره اتفاق می‌افتد. این مدل برای سیستم واکنش CaO با SO_2 وفق می‌کند.



شکل (۱۳) طرح اولیه حفره ایده‌آل مدل

ب ۲-۲- مدل‌های چند حفره‌ای (Distributed Pore Models)

در این مدلها، جامد متخلخل بصورت سیستمی که دارای تعداد زیادی حفره است در نظر گرفته می‌شود بطوریکه محل و اندازه و توزیع آنها از قبل تعیین شده است. بعارت دیگر، بمنظور بررسی نحوه سیلان در محیط‌های متخلخل می‌توان آنها را شامل دسته‌ای از لوله‌های مونینه موازی و بهم فشرده در زمینه جامد فرض کرد. با این مدلها می‌توان واکنش‌های گازی کردن احتراق ذغال سنگ را که فقط محصولات گازی تولید می‌کنند توجیه نمود. فرم کلی این نوع واکنش‌ها بگونه زیر است.



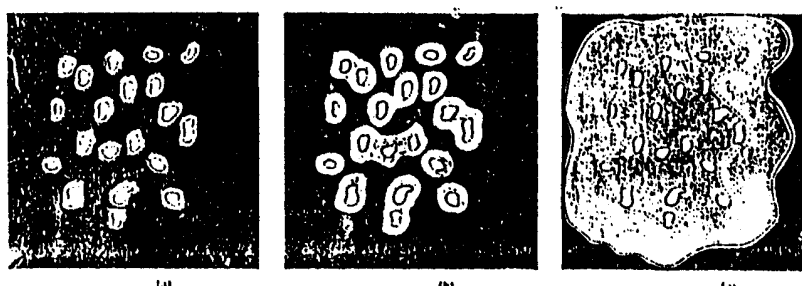
در جدول ۱۰ نتایج برخی از انواع الگوهای تبدیل جامد - زمان آمده است.

جدول (۱۰): روابط تبدیل جامد متخلخل بر حسب زمان در مدل‌های چند حفره‌ای

| مرجع | پارامترهای قابل محاسبه | روابط تبدیل جامد بر حسب زمان | مدل | | | | | | |
|------------------------|------------------------------------------------------------------------------------------------------------------------------------------------------------------------------|--------------------------------------------------------------------------------------------------------------------------------------------------------------------------------------------------------------------------------------------------------------------------------------------------------------------------------------------------------------------------------------------------------------------------------------------------------------------------------------------------------------------------------------------------------------|---------------|--------------------------------------------------------------------------------------------------|------------|-------------------------------------------------------------------------------------------------------------|------------------------|---------------------------------------------------------------------------------------------------------------------------------------------|---------|
| ۳۴ و ۴۴ | $\tau = \frac{K_p C_p S \cdot t}{1-\epsilon}$, $\beta = \frac{\gamma K_p \alpha p (1-\epsilon)}{M_p D_p S}$, $\psi = \pi L \cdot (1-\epsilon) / S$, $c^* = \frac{c}{c_b}$ | <table border="1"> <tr> <td>کنترل سینتیکی</td> <td>$\frac{dX}{dt} = \frac{k_p \cdot \epsilon \cdot c_i}{(1-\epsilon)} (1-X) \sqrt{1-\psi \ln(1-X)}$</td> </tr> <tr> <td>کنترل نفوذ</td> <td>$\frac{dX}{dt} = \frac{c^* (1-X) \sqrt{1-\psi \ln(1-X)}}{1 + \frac{RZ}{\Psi} [\sqrt{1-\psi \ln(1-X)} - 1]}$</td> </tr> <tr> <td>کنترل شبیه‌سازی و نفوذ</td> <td>$X = 1 - \exp \left[\frac{1}{\Psi} \left[\sqrt{1+\beta Z \tau} - \left(1 - \frac{RZ}{\Psi} \right) \right]^\frac{1}{\beta} \Psi \right]$</td> </tr> </table> | کنترل سینتیکی | $\frac{dX}{dt} = \frac{k_p \cdot \epsilon \cdot c_i}{(1-\epsilon)} (1-X) \sqrt{1-\psi \ln(1-X)}$ | کنترل نفوذ | $\frac{dX}{dt} = \frac{c^* (1-X) \sqrt{1-\psi \ln(1-X)}}{1 + \frac{RZ}{\Psi} [\sqrt{1-\psi \ln(1-X)} - 1]}$ | کنترل شبیه‌سازی و نفوذ | $X = 1 - \exp \left[\frac{1}{\Psi} \left[\sqrt{1+\beta Z \tau} - \left(1 - \frac{RZ}{\Psi} \right) \right]^\frac{1}{\beta} \Psi \right]$ | ۲-۲-۱ ب |
| کنترل سینتیکی | $\frac{dX}{dt} = \frac{k_p \cdot \epsilon \cdot c_i}{(1-\epsilon)} (1-X) \sqrt{1-\psi \ln(1-X)}$ | | | | | | | | |
| کنترل نفوذ | $\frac{dX}{dt} = \frac{c^* (1-X) \sqrt{1-\psi \ln(1-X)}}{1 + \frac{RZ}{\Psi} [\sqrt{1-\psi \ln(1-X)} - 1]}$ | | | | | | | | |
| کنترل شبیه‌سازی و نفوذ | $X = 1 - \exp \left[\frac{1}{\Psi} \left[\sqrt{1+\beta Z \tau} - \left(1 - \frac{RZ}{\Psi} \right) \right]^\frac{1}{\beta} \Psi \right]$ | | | | | | | | |
| ۸۰۳۱ ۲۹ | $S = \frac{\epsilon}{r} \cdot \frac{(2G - 2\xi) \xi / (G-1)}{(1/\gamma V)_r, G^r - G + 1 + \dots}$ | $X = \frac{\epsilon}{1-\epsilon} \left[\xi \left[\frac{G - \xi}{G-1} \right] - 1 \right]$ | ۲-۲-۲ ب | | | | | | |
| ۷۴ | $B_s = \int_{R_s}^{R_s} \lambda(R_s) dR_s$, $B_v = \int_{R_s}^{R_v} R_s \lambda(R_s) dR_s$ | $X_c(t) = 1 - \exp \left[-\pi (B_s v' t' + B_v v t) \right]$ | ۲-۲-۳ ب | | | | | | |
| ۳۸ و ۳۹ | Thiele Modulus : $R_s \left[k \varphi_p s \cdot \epsilon / \nu_{D_s} \right]^{\frac{1}{1-\epsilon}}$ | $\frac{dR_s}{dt} = - \frac{K_p C_p M_B}{P_t} \left(\frac{1}{1-k} \right)$ | ۲-۲-۴ ب | | | | | | |

ب ۱- [Random Pore و ۳۴] Pernulter, Bahatia - ۲-۲-۱، مدلی بنام حفره تصادفی (RPM) یا

ارائه نمودند (جدول ۱۰). RPM روش منطقی برای دستیابی به درجه واکنش نسبت به جامد را ارائه می‌کند. در این مدل تقاطع حفره‌ها در ضمن پیشرفت واکنش در نظر گرفته شده است و نیز اشکال مختلف لایه اطراف حفره را در مراحل مختلف واکنش نشان می‌دهد. طرح‌های اولیه این مدل در اشکال a, b, c آمده است. این مدل برای واکنش گازی کردن ذغال سنگ، واکنش CaO با CO_2 و نیز CaO با (SO_2, O_2) نتایج مطلوبی به همراه داشته است. در این مدل از پارامتر β برای توزیع اندازه حفره در جامد استفاده می‌شود.



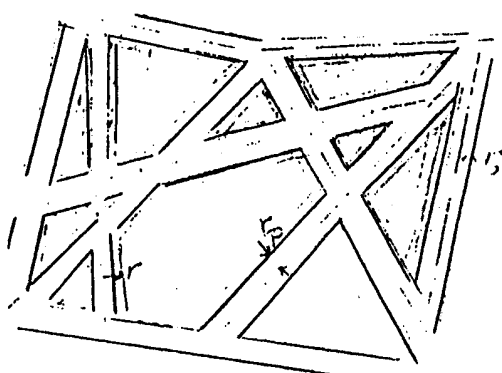
اشکال (۱۴): a مرحله شروع تشكیل لایه محصول در اطراف هر حفره b مرحله میانی رویهم قرارگیری برخی از سطوح

واکنش کرده c مرحله نهائی توسعه کامل لایه محصول و سطح واکنش.

آنالیز واکنش‌های گازی کردن برای ذرات غیرمتخلخل را می‌توان از طریق مدل هسته کاهنده انجام داد. Szekely [۲۲] و همکاران [۱] تحقیقاتی در این زمینه و برای جامدات فشرده انجام دادند بطوریکه در تحقیقات آنها، آنالیز واکنش‌های تبدیل جامد به گاز (گازی کردن) بر اساس مدل هسته کاهنده و بدون در نظر گرفتن لایه محصول انجام شد.

ب ۲-۲-۲ Peterson [۲۵] جزو اولین محققین بود که تغییر اندازه حفره را در مقیاس میکروسکوپی در نظر گرفت و در مدل پیشنهادی خود شکل هندسی لوله‌های موئینه‌هایی را که همدیگر را قطع می‌کنند و رویهم قرار می‌گیرند بحساب آورد و نیز نزخ تغییر شعاع متوسط یک حفره استوانه‌ای را بدست آورد. میزان تبدیل و مساحت سطح حفره و شعاع لحظه‌ای حفره‌های یکنواخت بهمدیگر ربط داده شده‌اند. وی با این فرض که جامد واکنش کننده از حفره‌های نازک و دراز با شعاع یکنواخت m^2 که همدیگر را بطور اتفاقی قطع می‌کنند تشکیل شده است. سرعت تغییر شعاع متوسط یک حفره استوانه‌ای را بدست آورد و آن را برای شبکه‌ای از

حفره‌های متقارن توسعه داد (شکل ۱۵). روابط این مدل در جدول ۱۰ آمده است. در روابط فوق الذکر پارامترهای نظری: میزان تبدیل و مساحت سطح حفره و شعاع لحظه‌ای حفره‌های یکنواخت بهمدیگر ربط داده شده‌اند. کاربرد این مدل در واکنش گازی کردن گرافیت با CO_2 مطلوب بوده است.



ب ۲-۲-۴ Random Pore Model Silveston, Hashimoto [۳۶ و ۳۸] مدلی بنام حفره تصادفی

پیشنهاد کردند. در این مدل ساختار حفره توسط لوله‌های موئینه استوانه‌ای با توزیع معین در نظر گرفته می‌شود. با کمک این مدل آنالیز واکنش گازی کردن با توجه به شروع و رشد حفره‌های جدید و نیز در هم پیچیدگی حفره‌های مجاور صورت گرفته است، هر یک از عوامل فوق الذکر سبب می‌شوند که در تعداد حفره‌های با اندازه یکسان و نیز در تابع توزیع دانسیته اندازه حفره تغییراتی حاصل شود. با کمک این مدل خواص قابل اندازه‌گیری جامد نظری مساحت سطح حفره، شعاع متوسط حفره، شعاع ذره بر حسب تابعی از زمان یا پیشرفت واکنش پیش‌بینی می‌شود. نحوه تغییرات حفره در این مدل با معادله زیر نشان داده شده است:

$$\frac{\partial f}{\partial t} = \left(f \cdot \frac{dr}{dt} \right) - B + D = 0.$$

معادله سرعت فوق با معادله سرعت بفرم رابطه جدول ۹ در نظر گرفته می‌شود تا نهایتاً سرعت تشکیل حفره‌های جدید و سرعت در هم پیچیدگی (Coalescence) حفره‌ها که فرمولاسیون کاملی از مسئله است ارائه شود. این مدل با پارامترهای محدودی که دارد توافق خوبی با داده‌های آزمایشگاهی واکنش گازی کردن ذغال سنگ نشان می‌دهد.

بحث:

با توجه به اینکه مشخصات فیزیکی جامد مانند: میزان تخلخل، میزان زیستر شدگی و توزیع اندازه ذرات نقش بسزایی در تشخیص سرعت واکنش بعده دارند، لذا جهت مقایسه و انتخاب بهترین این مشخصات نیز بایستی در نظر گرفته شود.

از کمیتهای مهمی که تابع میزان پیشرفت واکنش است نفوذ مؤثر می‌باشد. در برخی از سیستم‌ها عمل زیستر شدگی در جامد واکنش کننده یا در محصول به میزان قابل ملاحظه‌ای رخ می‌دهد. در این حالت نفوذ مؤثر شدیداً تغییر می‌کند.

کمیت درجه واکنش نسبت به گاز کمیتی ضروری است که آنرا بسادگی می‌توان از طریق تغییرات فشار جزئی گاز در محدوده وسیعی تعیین کرد این کار در حالاتی اهمیت دارد که عامل کنترل کننده سرعت با گذشت زمان تغییر کند.

سرعت واکنش شیمیائی و ثوابت سینتیکی را فقط می‌توان با رسم داده‌های سرعت بر حسب زمان بدست آورد. با توجه به اینکه غالباً تغییرات حرارتی قابل ملاحظه‌ای در حین انجام واکنش بوجود می‌آید لذا بایستی حتی الامکان در برقراری حالت تک دما دقت شود.

کاربرد سیستم میکروگراف الکترون پروف در تشخیص مدل و تخمین برخی از پارامترهای سیستم‌های گاز - جامد اهمیت زیادی دارد. با این روش پروفیل غلظت جامد واکنش کننده بر حسب موقعیت شعاعی بلت در مراحل مختلف پیشرفت واکنش بدست می‌آید و بدینطریق مقایسه پروفیل تغییرات غلظت جامد با آنچه که مدل

پیش بینی می کند میسر می شود. محاسن و معایب مدلها را که در این مقاله شرح داده شد در جداول ۱۱ و ۱۲ آمده است.

جدول (۱۱): محاسن و معایب مدلها را هسته کاهنده و هسته غیرکاهنده

| مدلها را هسته غیرکاهنده | | مدلها را هسته کاهنده | |
|-----------------------------------------------------------------------------------------------------------------------------------------------------|------------------------------------------------------------------------------------------------------------------------------------------------------------------------------------------------------|------------------------------------------------------------------------------------------------------------------------------------------------------------------------------------------------------------------------------------------------------------------------------------------------------------|--------------------------------------------------------------------------------------------------------------------------------------------------------------------------------------|
| معایب | محاسن | معایب | محاسن |
| <ul style="list-style-type: none"> - مشابه مدلها را هسته کاهنده است. - از تغییر خواص لیزبک در حین انجام واکنش صریح نمی شود. | <ul style="list-style-type: none"> - تغییرات لیزبک در جامد واکنش کنندگه اندانی ترین فرم بیان می شود. - واکنش شبیه ای و نفرذ توأم در حجمی از پلت و با شبیب کند، انجام می شود. | <ul style="list-style-type: none"> - کارائی این مدلها در محدوده مشخص شرده و غیرکاتالیستی دارد. - برای هلت جامد فشرده مناسب است. - واکنش شبیه ای در سطح مشترک در این مدلها تغییرات اندازه حفره با مساحت سطح ذر حین واکنش اندازه گیری نمی شود مگر با کمک روابط اندانی دیگر. | <ul style="list-style-type: none"> - پیشترین کاربرد را برای جامدات فشرده و غیرکاتالیستی دارد. - برای هلت جامد فشرده مناسب است. - قیمت انجام می شود. |

مدلها را دانه ای جذایت کاربردی زیادی دارند چون ۱- نفوذ گاز در بین سطح و جبهه واکنش در داخل دانه انجام می شود. این مدل هر دو نفوذ یعنی نفوذ داخل پلت (تخلخلهای ماکرو) و نفوذ داخل دانه (تخلخلهای میکرو) را در بر می گیرد ۲- با پیشرفت واکنش شیمیائی جبهه واکنش (مرز واکنش) که در ماده متخلخل بوجود می آید برآختی مدوله می شود. بعلاوه سرعت واکنش پلت مستقیماً از سرعت واکنش دانه های تشکیل دهنده آن (که روابط ریاضی آن قابل محاسبه است) و بصورت تابعی از مشخصات هندسی، مکانیزم های کنترل کننده، غلظت گاز در خارج از دانه ها، بدست می آید. این مدلها در هنگامی که پلتی با دانه ای ریز و فشرده تهیه می شوند، اهمیت پیدا می کنند. فرم اصلاح شده این مدلها قادرند تغییرات فیزیکی ناشی از زینتر شدگی را بحساب آورند.

جدول (۱۲): محاسن و معایب مدلها را حفره ای

| چند حفره ای | | نک حفره ای | |
|-----------------------------------------------------------------------------------------------------------------------------------------------|--------------------------------------------------------------------------------------------------------------------------------------------------------------------------------------------------------------|-----------------------------------------------------------------------------------------------------------------------------------------------------------------------------------------------------------------------------------------------------------------------------------------------------------------|--------------------------------------------------------------------------------------------------------------------------------------|
| معایب | محاسن | معایب | محاسن |
| <ul style="list-style-type: none"> - مشابه با مدلها را نک حفره ای است - برخورد حفره ها با هدبگر در نظر گرفته نمی شود. | <ul style="list-style-type: none"> - مشخصات فیزیکی جامد متخلخل بحساب می آید. - برای پلت های با شکل هندسی مختلف حفره مفید است. - ریاضیات ساده (خصوصاً مدل حفره نصادفی) دارد. | <ul style="list-style-type: none"> - اندازه حفره ها را بکنارخست فرض می شود. - برخورد حفره ها را بیکدیگر در حین واکنش بحساب نمی آید. این فاکتور پس از گذشت مدتی از زمان واکنش مهم می شود. - توزیع اندازه حفره ها (که معمولاً در در جامد متخلخل وجود دارد) در نظر گرفته نمی شود. | <ul style="list-style-type: none"> - ریاضیات ساده دارد - شامل نعداد محدود پارامتر های مستقل و قابل تنظیم است |

جمع بندی:

در این مقاله الگوهای سیستم واکنشهای گاز - جامد که غالباً در متالورژی و صنایع شیمیائی با آنها مواجه می‌شوند گردآوری و طبقه‌بندی شده و مورد نقد و تجزیه و تحلیل قرار گرفته‌اند. مدل‌های اولیه عمدتاً بر اساس واکنش‌های گاز - جامد فشرده استوارند و مدل‌های دیگر با توجه به واکنش‌های گاز - جامد متخلخل گسترش یافته است.

بمنظور دستیابی به روابط نهانی تبدیل جامد بر حسب زمان در مدل‌های گاز - جامد فرضهای ساده‌کننده‌ای در نظر گرفته می‌شود که برای اغلب سیستمهای واکنش مناسبند ولی کارآئی مدل‌ها را نیز محدود می‌سازند. عمدت‌ترین این فرضها عبارتند از:

- ۱- فرض واکنش‌های درجه اول که برای تمام واکنشها صادق نیست.
- ۲- بحرانی‌ترین فرضی که در برخی از مدل‌ها از قبیل مدل‌های هسته کاهنده و غیرکاهنده، از آن صرفنظر شده فرض تغییرات فیزیکی در حین انجام واکنش است. در حالیکه تغییرات ناشی از زینتر شدنگی می‌تواند سبب افزایش مقاومت در برابر نفوذ گاز بداخل جامد متخلخل شده و یا اینکه حفره‌های بازتری را در ساختار جامد ایجاد کند.
- ۳- فرض شرایط تک دما می‌تواند فرض ساده‌کننده‌ای در اکثر سیستم‌ها باشد لیکن شرایط غیر تک دما در برخی از سیستم‌ها وجود دارد. بطور کلی اکثر فرمولاسیونهایی که برای مدل‌ها ارائه شده بفرم بدون بعد هستند و روابط تبدیل جامد بر حسب زمان را می‌توان بصورت منحنی رسم کرد و تغییرات پارامتر مدل را بررسی نمود. بدینطريق ارتباط مدول کلی واکنش و زمان انجام واکنش کامل پلت مشخص می‌شود. معمولاً زمان لازم برای دستیابی به کسر مشخصی از تبدیل جامد منحصر آز یک منحنی مشخص نمی‌شود بلکه ترجیحاً بكمک دسته‌ای از منحنی‌ها و با فاکتور شکل هندسی (بعنوان یک پارامتر) تعیین می‌شود. سیستمهای زیادی وجود دارند که در آنها تغییرات ساختار ناشی از واکنش حائز اهمیت است لذا ضرورت دارد الگوهای جامع‌تر در نظر گرفته شوند تا طیف گسترده‌تری از سیستمها را دربر گیرند گرچه انجام این وظیفه با مشکلات قابل ملاحظه‌ای همراه است و به تلاش تجربی و تحلیل بیشتری نیاز دارد. معهذا، تصور می‌شود الگوهای ذکر شده در این مقاله برای تعداد زیادی از سیستمهای عملی کاربرد دارد و می‌توانند برای تحقیقات آینده در این زمینه مفید باشند. خوشبختانه گام‌های مؤثری در جهت تهیه نرم‌افزارهای الگوهای سینتیکی در دانشکده مهندسی متالورژی دانشگاه صنعتی شریف برداشته شده است که می‌توانند در آینده تحولی در بررسی این سیستمها ایجاد بکند.

علام اختصاری:

| | | | | |
|--------------------------------|------------------------------------------------------------------------------------|--------------------------------------------------|--------------|--------------------------------------------------------------|
| $F_p, F_g, S_F, F_1, F_2, F_3$ | فاکتور شکل پلت و دانه (مقادیر ۳ و ۲ و ۱ نیز نسبت برای صفحه مسطح، استوانه، کره است) | A_g, A_p | a, b, d, g | ضراب استوکبرمنتری مساحت سطح خارجی دانه نک و پلت |
| $F(cm)$ | وابستگی تابع به غلظت متوسط | $A_M = \frac{2}{3} \cdot \frac{\rho R}{k_g C_0}$ | | پارامتر مدل |
| f_g, f_p | فاکتور شکل دانه g و پلت p | B | | سرعت ایجاد حفره‌های جدی با اندازه r |
| $f(R)$ | عدد توزیع حفره در پلت | $B_l = \frac{R k_a}{D_e}$ | | عدد بیوت |
| G | محصول تشکیل شده در واکنش | C | | غلظت اولیه در مرکز پلت جامد |
| $g_{fg}(x), g_{fp}, g_N(x)$ | تابع تبدیل | D | | سرعت خارج شدن حفره‌ها در انر رویهم قرار گیری |
| $g(s)$ | تابع توزیع طول حفره | $D_A, D, D_S, D'_A = L^{2/t}$ | | نفوذ مؤثر در لایه خاکستر |
| h_D | ضریب انتقال جرم | D_e, D_p | | نفوذ مؤثر گاز در حفره‌های جامد و متخلخل |
| i | سطح مشترک | D_{eg}, D_g | | نفوذ مؤثر در دانه |
| $I_D(x)$ | انگرال واسون | D_{eA} یا D_{Ae} | | نفوذ مؤثر واکنش کننده گازی A |
| K_p, K_{Ag} | ثابت رابطه | D_{r0} | | ثابت رابطه |
| K'_s, K_s, K_p | ثابت سرعت واکنش | C_A, C_B | | غلظت مولار نهائی اولیه جامد واکنش کننده B, A, G |
| K_E | ثابت تعادل | | | غلظت‌های گاز واکنش کننده A, B, G در داخل جامد کروی (ترتیب) |
| L | | C_A, C_B, C_G | | |
| L_p | طول کل حفره‌ها در واحد حجم پلت | C_0 | | غلظت تعادلی C |
| L_s, L_p | نصف ضخامت پلت جامد در حفره | C_{so} | | غلظت مولی و اولیه جامد واکنش کننده |
| M_D, M_G, M_B | جرم مولکولی انواع جامد مولکولی D, G, B (ترتیب) | C_s | | غلظت اولیه جامد واکنش کننده در سطح پلت |
| $m.n$ | درجه واکنش نسبت به گاز و جامد (ترتیب) | d_0 | | دانسیته اولیه پلت |
| $P_{fp}(X), P_{fg}(X)$ | فشار گاز | D | | نفوذ گاز واکنش کننده در جامد واکنش کننده |
| P_e | فشار تعادلی | D | | سرعت خارج شدن حفره‌ها در انر روی هم فرار گیری |
| P_f, P_{Fg} | تابع توزیع | D_A, D'_A, D_S, D'_A | | نفوذ مؤثر در لایه خاکستر |
| r | شعاع پلت | D_e, D_p | | نفوذ مؤثر گار در حفره‌های جامد و متخلخل |
| r_0 | شعاع اولیه و خارجی ذره | D_{eg}, D_g | | نفوذ مؤثر در دانه |
| r_{C1} | مرتفعیت فصل مشترک واکنش در داخل دانه | D_{eA} یا D_{Ae} | | نفوذ مؤثر واکنش کننده گازی A |
| r_c | مرتفعیت جبهه واکنش | D_{r0} | | ثابت رابطه |

| | | | |
|------------------------------------|--------------------------------------------------------------------|---------------------|--------------------------------------------|
| $\beta = 2k_g 2p(1-s_0)/MbDS_0$ | پارامتر ساختاری فاکتور شکل ذره | $r'_0, r'G$ | مرتفعیت هسته واکنش نکرده |
| γ | انقباض دانه | r_0 | فاصله مرکز ناسطح مشترک واکنش |
| r_G | نخلخال در لایه محصول | r_G | شعاع دانه |
| $\epsilon_p, \epsilon_0, \epsilon$ | نخلخال پلت، نخلخال اولیه در پلت | r_{G0} | شعاع اولیه دانه |
| ϵ'_B | کسری از سطح جامد B که در بین لایه خاکستر و منطقه واکنش فشار دارد | r'_0 | سرعت واکنش |
| $\eta = \frac{AR}{f_p A_p}$ | فاصله بدون بعد پلت در سطح مشترک گاز - جامد | R | شعاع بدون بعد پلت R/R_0 و نابت جهانی گاز |
| 0 | زمان بدون بعد | R_p, R_g | شعاع دانه، شعاع پلت |
| ξ | شعاع هسته واکنش نکرده | R_{min}, R_{max} | حداکثر و حداقل شعاع لوله موبیته |
| $\varnothing \cdot \vartheta^2 g$ | مدول نیله، مدول واکنش در مدل دانه ای | R_s | شعاع لحظه ذره کروی (L) |
| ϕ_{v0} | مدول اولیه نبله | S | شبی پروفیل خطی واکنش کننده جامد |
| t_{ip} | زمان بسته شده حفره | S_0 | مساحت سطح واکنش بر واحد حجم در لحظه صفر |
| τ | زمان بدون بعد در مدل واکنش حجمی | S_g | مساحت سطح پلت در واحد حجم |
| $\rho_B, \rho_G, D_l, (\rho_s)$ | (دانسیته جامدات G, B (بترتیب)) | Sh^* | عدد شرود |
| $\rho(s)$ | تابع احتمالات دانسیته در مدل حفره موبیته، دانسیته مولی | S_y | مساحت سطح خارجی یک ذره |
| $\sigma_N, \sigma_S, \sigma_g$ | مدول واکنش گاز جامد برای مدل | $I, I_s, I_g, I(X)$ | زمان تبدیل جامد (بدون بعد) |
| σ_R | ضریب استوکیومتری جامد واکنش کننده | T | درجه حرارت |
| λ | مقدار مرضی کسر تبدیل در جامد واکنش کننده، غلطت واکنش کننده در | | |
| $v_{g,p}$ | حجم دانه و پلت (بترتیب) | W | جامد |
| v | عدد نابت | X, y | کسر تبدیل جامد واکنش کننده B |
| ∂_A | ضریب استوکیومتری گاز | $y = \frac{r}{R}$ | موقیعیت (بدون بعد) در پلت |
| ∂_s | ضریب استوکیومتری جامد | Z | نسبت حجم مولاں محصول واکنش کننده |
| | | α | ضریب استوکیومتری گاز واکنش کننده |

سپاسگزاری

از معاونت پژوهشی دانشگاه صنعتی شریف بخاطر تامین اعتبار مالی این طرح تحت شماره ۲۲۰ قدردانی می شود.

مراجع:

1. Szekely, J. and Evans J.W. and sohn, H.Y. "Gas- Solid Reactions ". Academic press, New York , 1976.
2. Goest, U. and Marty ,A. "A Model for Reversible Solid - Gas Reactions Submitted to Temperature and Pressure constraints ":Simulations of the Rate of Reaction in Solid - Gas Reactor used as Chemical Heat Pump Chem.Eng- Sci. "Vol.47, No. 17/18, PP4145-4454 (1992).
3. Chieh Chu "parallel Plate Model for Non-Catalytic Gas- Solid Reactions, " Chem Eng.Sci 1972, Vol.27,PP:367-373.
4. N.Mazet, B.Spinner. "Modeling of Gas - Solid Reactions 2. Porous Solids Int.Chem Eng. Vol.32.No3.1992,P:395.
5. Wen,C.Y. and Wu,N.T."Analysis of Slow Reaction in a Porous particle AICHE . Nov.1976.PP:1012-1021.
6. Ramachandran, P.A. and Dudukovic, M.P."Reaction of Solid Particles with Nonuniform Distribution of Solid Reactant"The Volume Reaction Model. Chem . Eng. Sci Vol.39.No.4.PP:669-680, 1984.
7. Rande. M.G. and J.W.Evans , " The Reaction between a Gas and a Solid in a Non - Isothermal Packed bed. "Simulation and Experiment " Ind.En.Chem. Proce. Des. Dev. 19,118,1980.
8. Ramachandran.P.A and Smith.J.M., "A Single Pore Model for Gas- Solid Non-Catalytic Reactions "AICHE ,Vol.23,No 3. May 1977 PP:353-361.
9. H.Y.Sohn. "The effect of Intragrain Diffusion in the Reaction between a Porous Solid and a Gas. " Chem. Eng.Sci. 1974 Vol.29, PP:630-634.
10. Calvelo.A. and R.E.Cunningham "Kinetics of Gas - Solid Reactions " J.Catalysis, 17,1(1970).
11. Georgakis, C.C. and W. Chang and J.Szekely ."A Changing Grain Size Model for Gas-Solid Reactions. Chem.Eng.Sci .34.1072(1979).
12. Sohn, H.,Y. "The Law of Additive Reaction Times in Fluid- Solid Reactions " Met. Trans. B, 9B, PP:89-96, 1978.

13. H.Y.Sohn , "Gas- Solid Reactions in Extractive Metallurgy ". Metallurgical Society of AIME, 1981.
14. Szekely ,J. and Evans , "A Structural model for Gas-Solid Reactions with a Moving Boundary"Chem Eng. Sci .1970. Vol.25 . PP:1091-1107
15. H.Y. Sohn and j,Szekely, "A Structural Model for Gas - Solid Reactions with Moving Boundry III."Chem Eng. Sci 1973 Vol.27 , PP:763-778.
16. W.M.Mckewans . "Kinetics of Iron ore Reduction"Transactions of the Metallurgical Society of AIME , Vol 212, Dec. 1958 p.791.
17. Hartman and Couglan , R.W., Ind.Eng. Chem.Proce. Des.Dev. .1974,13,P:248.
18. A.N. Gokarn, Doraiswamy."A Model for Solid-Gas Reactions ".Chem Eng.Sci. 26.1521 (1971).
19. Manolis, M. Tomadakis and Stratisv, V. Soirchos ."Ordinary Transition and Kundsen Regime Diffusion in Random Capillary Strutctures." Chem.Eng.Sci. Vol.48.No. 19,PP:1123-133,1993.
- 20.M.Mayamoto.K.Kyamji,Y.Nakata."Reaction Kinetics of Iron".j.of Less Common Metals ,89(1983) PP:111-116.
21. E.T.Turkdogan and J.V. Vinters, Metallurgical Transactions . 1971, Vol 2. P:3175-3188.
22. Levenspiel, O. "Chemical Reaction Engineering ."John Wiley and Sons , New York .(1973).
23. N. Mazel."Modeling of Gas- Solid Reactions , I. Non -porous Solids "International - Chemical Engineering , Vol .32, No.2 April 1992, PP:271-284.
- 24.Dudukovic and H.S. Lamba. " Solution of Moving Boundry Problems for Gas- Solid Non Catalytic . Reactions by Orthogonal Collocation. "Chem Eng. Sci.. 1978.
25. Sohn.H.Y. and Szekely j."The Effects of Reaction order in Non-Catalytic Gas,Reactions, The Canadian journal of Chemical Eng .,Vol.50,Oct. 1972
26. Dudukovic, M.P. and Lamba,H.S."A Zone Model for Reactions of Solid Particle With Strong Adsorbing Species". Chem .Eng. Sci.1978. Vol.33,PP:471-478.

27. Hartman ,M.and R.W.Conghin, "reaction of Sulphur Dioxide with Lime and the Grain Model" AIChE J.,22,490(1976).
28. H.Gibson. J.B. and D.P. Harrison. "The Reaction between Hydrogen Sulfide and spherical Pellets of Zinc Oxide. " I.E.Proc.Des.Dev. . 19,231 (1980).
29. Bahatia,S.K and D.D. Permulter "A Random Pore Model for Fluid- Solid Reactions .I.Isothermal, Kinetic Control, AIChE.J. 29,369(1980).
30. Rande,P.U. and D.P.Harison, "The Variable Property Grain Model applied to Zinc Oxide- Hydrogen Sulfide Reaction. " Chem.Eng.Sci .39,1079(1988).
31. 'Rande,U.Harrison,P. "The Grain Model applied to Porous Solid with varying structural properties . " Chem.Eng.Sci. 1970, Vol.34 PP:427-432.
32. Hong.H.Lee. "Simple conversion relationships for Non- Catalytic Gas-Solid Reactions ." Ind.Eng.Chem.Process,Des.Dev. 1980,19,240-242.
33. Dennis,j.S,Hayhurst,A.N"A Simplified Analytical Model for the Rate of Reaction of SO₂ with Limestone Particle " Chem.Eng.Sci. Vol.41m,No.1,PP;25-36,1989.
34. Bahatia, S.K and D.D.Permulter :"A Random Pore Model for Fluid- Solid Reactions :II. Diffusion and Transport effects ." AIChE"j. .Vol .27.No2.1981.
35. Peterson, E.E. "Reaction of Porous Solid ." AIChE J. Vol .3, No.Y.PP:443-448, Dec.1957.
36. Hashimoto K.nad P.I. Silverston , "Approximate Rate expressions involving pore size distribution . " AIChE.J. . 19,368 (1973b).
- 37.Gavalas,G.R.andK.A.Wilks."IntraparticleMassTransformationCoalPyrolysis"AIChE. J. 26,20,(1980).
- 38.Hashimoto K. and P. Silveston , "Gasification :Part I. Isothermal Kinetics control Model for a Solid with a Pore size distribution. AIChE.J 19,259(1973a).
- 39.B.B.L. Seth and H.U.Ross, The Mechenism of Iron Oxide Reduction " Transaction of the Metallurgical Society of AIME . Vol 233. Jan. 1969. p:180-185
40. Gavalas, G.R. "A Random Capillary Model with application to Char Gasification at Chemically Controled Rates ." AIChE J. ,1980,26,517.

41. Ramachandaran, P.A. and J.M.Smith "Effect of Sintering and porosity changes in the rate of Gas- Solid Reactions "Chem.Eng.J. 14.137(1977).
42. M.Ishida. and C.Y.Wen . "Comparison of Kinetic and Diffusion Models for Gas Solid Reactions . AIChE. Vol.14. No 2 .PP :311-317 , 1968.
43. H.Y.Sohn. Ind Eng. Chem. Process, Des Dev. 19(1980) p.237-424 (Cited in 3).
44. Bhatia,S.K, Permuter, D.D. "Unified Treatment of Structural Effects in Fluid-Solid Reactions. "AICHE.J March 1983, Vol.29, No.2. PP:281-288.
45. H.Y. Sohn and Szekely. Can.j.Chem Eng. 50(1979) P:674-676.